

УДК 534 : 535

## АКУСТООПТИЧЕСКИЕ СВОЙСТВА СВЕРХРЕШЕТОК В ДЛИНОВОЛНОВОМ ПРИБЛИЖЕНИИ

*A. B. Вакуленко, Л. А. Чернозатонский*

Предлагается простой метод описания акустооптических процессов в слоисто-периодических структурах (сверхрешетках) при произвольной симметрии слоев. Метод справедлив в длинноволновом приближении, т. е. когда длины рассматриваемых электромагнитных и звуковых волн велики по сравнению с периодом структуры. Применение полученных общих соотношений иллюстрируется на конкретных примерах периодических структур.

В последние годы активно исследуются упругие свойства сверхрешеток (СР), в первую очередь их фоновый спектр, в который наличие в СР дополнительной периодичности и внутренних границ раздела привносит ряд новых интересных особенностей: появляются принципиально новые фоновые моды — «свернутые» вблизи центра зоны Бриллюэна, локализованные в пределах слоя и т. д. [1]. Исследование этих свойств проводится обычно методами спектроскопии комбинационного рассеяния [2], что в свою очередь порождает интерес к теоретическому изучению фотоподобного взаимодействия в СР. Это изучение представляет также и самостоятельный интерес, поскольку в СР возможны акустооптические (АО) процессы, принципиально невозможные в образующих их материалах, взятых по отдельности [3].

Наиболее общий подход к проблеме заключается в решении системы уравнений, описывающих распространение упругих и электромагнитных волн в слоисто-периодической среде с учетом условий на границе каждого слоя. Этот подход развивался на протяжении многих лет [4, 5]. Однако даже построение таким методом спектра одних лишь упругих колебаний в СР приводит к уравнениям, решаемым только численно [6].

Ситуация упрощается, когда длины электромагнитных и звуковых волн значительно превышают период  $D = D_1 + D_2$  СР, где  $D_1$  и  $D_2$  — толщины слоев образующих СР материалов (обобщение на случай СР, составленной из более чем двух материалов, тривиально). В этом случае дисперсия распространяющихся в СР колебаний нечувствительна к явлениям на границах между слоями, и, следовательно, СР можно рассматривать как однородную среду, характеризуемую набором эффективных параметров. Такое рассмотрение восходит к работе [4], где вычислялись эффективные упругие константы  $c_{ijkl}^e$  среды, образованной чередующимися изотропными слоями с упругими константами  $c_{ijkl}$  и  $c'_{ijkl}$ . В последние годы вычислялись эффективные упругие константы для СР со слоями, имеющими ромбическую, гексагональную и кубическую симметрии (ссылки см. в [7]), пока, наконец, в [8] не был предложен метод расчета  $c_{ijkl}^e$  при произвольной симметрии слоев.

Заменив СР эффективной однородной средой, можно также вычислить ее тензор упругооптических коэффициентов  $p_{ijkl}^e$  через компоненты тензо-

ров  $c_{ijkl}$ ,  $p_{ijkl}$  и  $c'_{ijkl}$ ,  $p'_{ijkl}$ , относящихся к образующим СР материалам. Однако это было проделано только для случая ромбической симметрии слоев и для заданных направлений распространения и поляризаций звуковых волн [7]. Целью настоящей работы является вывод более общего выражения для  $p'_{ijkl}$ , справедливого для слоев любой симметрии и произвольной геометрии АО взаимодействия. При этом на конкретных примерах показано, что даже в рассматриваемом предельном случае, когда СР в целом ведет себя как однородная среда, в ней могут происходить качественно новые АО процессы, невозможные в материалах, входящих в ее состав, и делающиеся возможными лишь при объединении их в СР. В отличие от [7] применялась стандартная теория Покельса, так как вклад поправок Нельсона—Лекса [9] в компоненты тензора  $p'_{ijkl}$  не является определяющим.

## 1. Вычисление упругооптических констант эффективной среды

Предполагая в духе длинноволнового приближения, что величины, описывающие электромагнитное поле в СР, слабо меняются на длинах порядка  $D$ , можно получить соотношения, определяющие тензор диэлектрической проницаемости эффективной среды  $\epsilon_{ij}^e$  [7]

$$\left. \begin{aligned} \epsilon_{ij}^e - \frac{\epsilon_{i3}^e \epsilon_{j3}^e}{\epsilon_{33}^e} &= d_1 \left( \epsilon_{ij} - \frac{\epsilon_{i3} \epsilon_{j3}}{\epsilon_{33}} \right) + d_2 \left( \epsilon'_{ij} - \frac{\epsilon'_{i3} \epsilon'_{j3}}{\epsilon'_{33}} \right), \\ i, j &= 1, 2, \\ \frac{\epsilon_{i3}^e}{\epsilon_{33}^e} &= d_1 \frac{\epsilon_{i3}}{\epsilon_{33}} + d_2 \frac{\epsilon'_{i3}}{\epsilon'_{33}}, \quad \frac{1}{\epsilon_{33}^e} = \frac{d_1}{\epsilon_{33}} + \frac{d_2}{\epsilon'_{33}}. \end{aligned} \right\} \quad (1)$$

Здесь значок « $e$ » указывает на отношение данной величины к эффективной среде, а штрих (или его отсутствие) — к одному из слоев СР. Ось  $z$  направлена перпендикулярно границам слоев,  $d_1 = D_1/D$ ,  $d_2 = D_2/D$ . Для упругих деформаций  $S_{mn}$  и напряжений  $\sigma_{mn}$ , которые также предполагаются слабо меняющимися на периоде СР, можно аналогично записать [8]

$$S_{mn}^e = d_1 S_{mn} + d_2 S'_{mn}, \quad \sigma_{mn}^e = d_1 \sigma_{mn} + d_2 \sigma'_{mn}. \quad (2)$$

Кроме того, условия непрерывности деформаций и напряжений на границе раздела дают дополнительно

$$S_{mn}^e = S_{mn} = S'_{mn}, \quad m, n = 1, 2; \quad \sigma_{m3}^e = \sigma_{m3} = \sigma'_{m3}, \quad m = 1, 2, 3. \quad (3)$$

Используя соотношения (1)–(3), можно получить искомое выражение для компонент тензора  $p'_{ijkl}$ . Для этого воспользуемся формулой, описывающей модуляцию диэлектрической проницаемости упругой волной [9].

$$\Delta \epsilon_{ij} = -\epsilon_{(ii)} \epsilon_{(jj)} p_{(ij)m} S_{mn}, \quad (4)$$

где по индексам, взятым в скобки, не должно производиться суммирование. Потребуем, чтобы эта формула оставалась справедливой в эффективной среде и воспользуемся для  $\Delta \epsilon_{ij}^e$  соотношениями (1). В общем случае получаем

$$\Delta_{(ij)}^e p_{(ij)m} (d_1 S_{mn} + d_2 S'_{mn}) = d_1 \Delta_{(ij)} p_{(ij)m} S_{mn} + d_2 \Delta'_{(ij)} p'_{(ij)m} S'_{mn}, \quad (5)$$

где коэффициент

$$\Delta_{ij} = \epsilon_{ii} \epsilon_{jj} [1 + (\delta_{ii} + \delta_{jj}) (\epsilon_{33} - 1) + \delta_{ii} \delta_{jj} (\epsilon_{33}^2 - 2\epsilon_{33} + 1)]^{-1}. \quad (6)$$

Для решения уравнения (5) необходимо исключить из него компоненты тензора деформации. Это можно сделать, используя прием, предложенный в [8] для нахождения  $c_{ijkl}^e$ . Перепишем условия (3) в виде

$$K_{ijmn} S_{mn} = K'_{ijmn} S'_{mn}, \quad (7)$$

где матрица тензора  $K_{ijmn}$  в сокращенных матричных обозначениях  $K_{ijmn} \rightarrow K_{\alpha\beta}$  имеет вид

$$K_{\alpha\beta} = \begin{pmatrix} 1 & 0 & 0 & 0 & 0 & 0 \\ 0 & 1 & 0 & 0 & 0 & 0 \\ c_{31} & c_{32} & c_{33} & c_{34} & c_{35} & c_{36} \\ c_{41} & c_{42} & c_{43} & c_{44} & c_{45} & c_{46} \\ c_{51} & c_{52} & c_{53} & c_{54} & c_{55} & c_{56} \\ 0 & 0 & 0 & 0 & 0 & 1 \end{pmatrix}. \quad (8)$$

Адекватность (3) и (7) можно проверить непосредственной подстановкой (8) в (7). Итак,  $S_{mn} = K_{mnij}^{-1} K'_{ijk} S'_{kl} = R_{mnkl} S'_{kl}$ . Выразив  $S_{mn}$  через  $S'_{mn}$  в соотношении (5) и учитывая, что оно должно быть справедливым при произвольной деформации, получаем окончательно

$$p_{ijmn}^e = (d_1 \Delta_{(ij)} p_{(ij)kl} R_{klpq} + d_2 \Delta'_{(ij)} p'_{(ij)pq}) \frac{1}{\Delta_{(ij)}^e} (d_1 R + d_2 I)^{-1}_{pqmn}, \quad (9)$$

где  $I$  — единичная матрица. Легко проверить, что в случае ромбической симметрии слоев соотношения (9) переходят в выражения для компонент  $p_{ijkl}^e$ , полученные в [7].

## 2. Особенности АО процессов в СР

Покажем, как, комбинируя различные материалы в виде СР, можно получать структуры с принципиально новыми АО свойствами. Рассмотрим выращенную вдоль оси  $\langle 001 \rangle$  систему GaAs/GaP — одну из классических СР. GaAs и GaP — кубические кристаллы класса  $\bar{4}3m$ . Следовательно,

$$K_{\alpha\beta} = \begin{pmatrix} K_1 & 0 \\ 0 & K_2 \end{pmatrix}, \quad K_1 = \begin{pmatrix} 1 & 0 & 0 \\ 0 & 1 & 0 \\ c_{31} & c_{31} & c_{33} \end{pmatrix}, \quad K_2 = \begin{pmatrix} c_{44} & 0 & 0 \\ 0 & c_{44} & 0 \\ 0 & 0 & 1 \end{pmatrix}, \quad (10)$$

$$M_{\alpha\beta} = \begin{pmatrix} M_1 & 0 \\ 0 & M_2 \end{pmatrix}, \quad M_1 = \begin{pmatrix} 1 & 0 & 0 \\ 0 & 1 & 0 \\ q & q & \frac{c'_{33}}{c_{33}} \end{pmatrix}, \quad M_2 = \begin{pmatrix} \frac{c'}{c_{44}} & 0 & 0 \\ 0 & \frac{c'_{44}}{c_{44}} & 0 \\ 0 & 0 & 1 \end{pmatrix}. \quad (11)$$

где  $q = (c'_{13} - c_{13})/c_{33}$ . Подставив (11) в (9), получим выражения для шести независимых компонент упругооптического тензора эффективной среды, которая обладает гексагональной симметрией. Из (1) следует, что компоненты тензора  $\varepsilon_{ij}^e$ , приведенные к главным осям, имеют вид

$$\varepsilon_{11}^e = \varepsilon_{22}^e = d_1 \varepsilon + d_2 \varepsilon', \quad \frac{1}{\varepsilon_{33}^e} = \frac{d_1}{\varepsilon_{33}} + \frac{d_2}{\varepsilon_{33}'}, \quad (12)$$

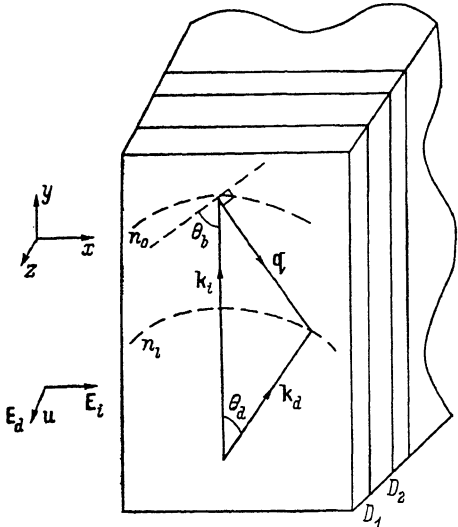
где  $\varepsilon, \varepsilon'$  — диэлектрические проницаемости соответственно GaAs и GaP. Отсюда следует, что данная СР ведет себя как двулучепреломляющая эффективная среда, которая всегда является оптически отрицательной,

Таблица АО параметров GaAs, GaP и СР GaAs/GaP  
( $d_1 = d_2 = 1/2$ )

	$\rho, \text{ кг/м}^3$	$n_0, n_l$	$c_{55}, 10^{10} \text{ Н/м}^2$	$p_{55}$
GaAs	5316	3.514	6.040	-0.0720
GaP	4301	2.915	7.047	-0.0740
СР	4809	3.230	6.536	-0.0737
		3.173		

так как для любых  $d_1, d_2$   $n_e = \sqrt{\epsilon_{33}^e} < n_0 = \sqrt{\epsilon_{11}^e}$ . Следовательно, в ней может происходить анизотропная дифракция света на звуке, т. е. дифракция с поворотом плоскости поляризации света [10]. Так, рассмотрим процесс, при котором обыкновенный световой луч, падающий вдоль оси  $y$  и поляризованный вдоль оси  $x$ , дифрагирует на звуковом пучке, распространяющемся в плоскости  $xy$  и поляризованным вдоль оси  $z$ , образуя необыкновенный луч, поляризованный вдоль оси  $z$  и отклоненный в плоскости  $xy$ , так

что его положение определяется углом дифракции  $\theta_d$  (см. рисунок). Такая дифракция вследствие диагональности тензора  $p_{\alpha\beta}^e$  при  $\alpha, \beta = 4, 5, 6$  будет происходить только на  $x$ -компоненте звуковой волны, и интенсивность дифрагированного света будет пропорциональна  $|p_{55}^e \cos \theta_B|^2$ , где  $\theta_B$  — брэгговский угол. Выражение для коэффициента  $p_{55}^e$  получается из формул (9), (11)



Ориентация осей координат и геометрия АО взаимодействия в СР GaAs/GaP.

Волновые векторы и векторы поляризации:  $\mathbf{k}_i$ ,  $\mathbf{E}_d$  — падающего светового луча;  $\mathbf{k}_d$ ,  $\mathbf{E}_d'$  — дифрагированного светового луча;  $\mathbf{q}$  — звукового пучка.

$$p_{55}^{e\bar{5}} = \left( d_1 \varepsilon p_{55} \frac{c'_{44}}{c_{44}} + d_2 \varepsilon' p_{55}' \frac{1}{\varepsilon_{11}^e} \left( d_1 \frac{c'_{44}}{c_{44}} + d_2 \right)^{-1} \right). \quad (13)$$

Константа  $c_{55}^e$ , необходимая для вычисления скорости звука в эффективной среде, определяется по формуле [8]

$$\frac{1}{c_{55}^e} = \frac{d_1}{c_{55}} + \frac{d_2}{c'_{55}}. \quad (14)$$

Численные значения параметров, описывающих данный процесс в рассматриваемой СР при  $d_1 = d_2 = 1/2$  и необходимые для их расчета константы [11], приведены в таблице. Поправка Нельсона—Лэksa, пропорциональная  $(1/\epsilon_{11}^e - 1/\epsilon_{33}^e)$ , для нашей среды в несколько десятков раз меньше  $p_{55}^e$ , что подтверждает справедливость использованной модели Поккельса. АО качество для данной геометрии взаимодействия  $M^e = p_{55}^{e\bar{5}} n_0^3 n_s^3 \cos^2 \theta_B / \rho^e v_s^e$ , где  $\rho^e = d_1 \rho + d_2 \rho'$  — плотность эффективной среды,  $v_s^e = (c_{55}^e / \rho^e)^{1/2}$  — скорость звука в ней, равно  $M^e = \cos^2 \theta_B \cdot 2.46 \cdot 10^{-14} \text{ с}^3/\text{кг}$ . Рассмотренный процесс возможен в области акустических частот  $f > f_{\min} \approx v_s^e (n_0 - n_e) / \lambda_0 = 210 \text{ МГц}$ ,  $\lambda_0$  — длина волны света в вакууме ( $\lambda_0 = 10^{-6} \text{ м}$ ).

У анизотропных материалов в зависимости  $\theta_B(f)$  имеется минимум при  $f = f_0 = v_s^e (n_0^2 - n_e^2)^{1/2} / \lambda_0$  [12]. В акустооптике это позволяет, работая на частотах, близких к  $f_0$ , получать широкий интервал углов отклонения дифрагированного луча, а следовательно, увеличивать разрешающую способность  $N$  при более рациональном использовании вводимой акустической мощности. Для СР GaAs/GaP при  $d_1 = d_2 = 1/2$  и  $\lambda_0 < 3 \cdot 10^{-6} \text{ м}$  частота  $f_0$  лежит в гигагерцевом диапазоне, что может привести к большим потерям из-за затухания звуковой волны. Однако варьирование параметров  $d_1, d_2$  открывает широкие возможности понижения  $f_0$ . Так, при  $d_1 = 0.98, d_2 = 0.02$  (т. е. при содержании GaP в СР, равном всего лишь 2 %)  $f_0 \approx 600 \text{ МГц}$  при  $\lambda_0 = 10^{-6} \text{ м}$ . Параметры эффективной среды в этом случае, как и следовало ожидать, близки по величине к аналогичным параметрам GaAs. Выигрыш в разрешающей способности по сравнению с неколлинеарным взаимодействием в кристалле GaAs вблизи частоты  $f = f_0$  равен [12]

$$\frac{N_{cp}}{N_{\text{GaAs}}} = \left( \frac{2L}{l_0} \frac{n_0^2 - n_e^2}{n_0} \right)^{1/2} \approx 6 \quad (15)$$

при  $L=0.002$  м, где  $L$  — длина взаимодействия, примерно равная ширине акустического пучка.

Рассмотрим теперь СР, слои которой обладают различной кристаллической симметрией, например структуру германий (кубическая симметрия класса  $m\bar{3}m$ )/сапфир (тригональная симметрия класса  $3m$ ), выращенную в кристаллографических осях, совпадающих с осями введенной нами системы координат. В такой системе оказывается возможной коллинеарная дифракция света на звуке в направлении, например, оси  $x$ , запрещенная в Ge. Ответственный за этот процесс упругооптический коэффициент  $p_{41}^e$  может быть рассчитан по формуле (9). Получающееся выражение можно упростить, если учесть, что ввиду плохих АО характеристик сапфира [11] его содержание в СР должно быть небольшим, т. е. должно выполняться неравенство  $d_2/d_1 \ll 1$ . Это дает

$$p_{41}^e = d_1 \frac{\epsilon_{22}'}{\epsilon_{22}''} \frac{c'_{11}}{c'_{44}} \left( 1 - 2d_1 \frac{c'_{44}}{c_{44} + c'_{44}} \right) p_{44}, \quad (16)$$

т. е. качество дифракции определяется упругооптическим коэффициентом Ge. Таким образом, коллинеарная дифракция может проявляться в СР на основе акустооптически высококачественного вещества, не обладающего необходимой для такого АО процесса симметрией.

В заключение отметим, что значительный интерес представил бы выход за рамки приближения эффективной среды, т. е. изучение фотоупругих процессов в тех спектральных интервалах акустических и электромагнитных волн, где существенное влияние на их дисперсию оказывают границы раздела между слоями в СР. Соответствующие исследования будут проведены в наших дальнейших работах.

Авторы благодарны за обсуждение работы и ценные замечания М. М. Мазуру и В. И. Пустовойту.

#### Л и т е р а т у р а

- [1] Klein M. Proc. IEEE, 1986, vol. QE-22, N 9, p. 1760—1770.
- [2] Insserand B. et al. Phys. Rev., 1987, vol. B35, N 6, p. 2808—2817.
- [3] Булгаков А. А., Тимченко А. И. ФТТ, 1986, т. 28, № 2, с. 510—517.
- [4] Рытов С. М. Акуст. ж., 1956, т. 2, № 2, с. 71—83.
- [5] Рытов С. М. ЖЭТФ, 1955, т. 29, № 5, с. 605—616.
- [6] Ronhani B. D. et al. Phys. Rev., 1983, vol. B28, N 4, p. 1711—1720.
- [7] Ronhani B. D., Sapriel J. Phys. Rev., 1986, vol. B34, N 10, p. 7714—7717.
- [8] Grimsditch M., Nizzoli F. Phys. Rev., 1986, vol. B33, N 8, p. 5891—5892.
- [9] Дъелесан Э., Руайе Д. Упругие волны в твердых телах. М.: Мир, 1982. 424 с.
- [10] Леманов В. В., Шакин О. В. ФТТ, 1972, т. 14, № 1, с. 229—236.
- [11] Акустические кристаллы / Под ред. М. П. Шаскольской. М.: Наука, 1982. 632 с.
- [12] Левин В. М., Пустовойт В. И. Тр. ВНИИФТРИ, 1978, № 38, с. 6—30.